

第一章 方程的导出和定解条件

主讲人 马啸

西北工业大学 数学与统计学院

2020 年 2 月 10 日

§1 守恒律

1.1 动量守恒与弦振动方程

- **物理模型**：一根两端固定的拉紧的均匀柔软的长度为 l 的细弦，在垂直于弦方向的外力作用下在平衡位置附近作微小的横振动，求弦上各点的运动规律。

§1 守恒律

1.1 动量守恒与弦振动方程

- **物理模型**：一根两端固定的拉紧的均匀柔软的长度为 l 的细弦，在垂直于弦方向的外力作用下在平衡位置附近作微小的横振动，求弦上各点的运动规律。

§1 守恒律

1.1 动量守恒与弦振动方程

- **物理模型**：一根两端固定的拉紧的均匀柔软的长度为 l 的细弦，在垂直于弦方向的外力作用下在平衡位置附近作微小的横振动，求弦上各点的运动规律。
- **理想假设**

§1 守恒律

1.1 动量守恒与弦振动方程

- **物理模型**：一根两端固定的拉紧的均匀柔软的长度为 l 的细弦，在垂直于弦方向的外力作用下在平衡位置附近作微小的横振动，求弦上各点的运动规律。
- **理想假设**
 - 两端固定 边界条件

§1 守恒律

1.1 动量守恒与弦振动方程

- **物理模型**：一根两端固定的拉紧的均匀柔软的长度为 l 的细弦，在垂直于弦方向的外力作用下在平衡位置附近作微小的横振动，求弦上各点的运动规律。

- **理想假设**

两端固定 边界条件

拉紧 弦的长度 = x 轴上所占据的长度 $u(x, t), x \in [0, l]$

§1 守恒律

1.1 动量守恒与弦振动方程

- **物理模型**：一根**两端固定**的**拉紧**的**均匀柔软**的长度为 l 的**细弦**，在垂直于弦方向的外力作用下在平衡位置附近作**微小的横振动**，求弦上各点的运动规律。
- **理想假设**
 - 两端固定** 边界条件
 - 拉紧** 弦的长度 = x 轴上所占据的长度 $u(x, t), x \in [0, l]$
 - 均匀柔软** 线密度 $\rho = \text{const}$ ；形变时不抵抗弯曲：各质点间的张力方向与弦的切线方向一致

§1 守恒律

1.1 动量守恒与弦振动方程

- **物理模型**：一根**两端固定**的**拉紧**的**均匀柔软**的长度为 l 的**细弦**，在垂直于弦方向的外力作用下在平衡位置附近作**微小的横振动**，求弦上各点的运动规律。
- **理想假设**
 - 两端固定** 边界条件
 - 拉紧** 弦的长度 = x 轴上所占据的长度 $u(x, t), x \in [0, l]$
 - 均匀柔软** 线密度 $\rho = \text{const}$ ；形变时不抵抗弯曲：各质点间的张力方向与弦的切线方向一致
 - 细弦** 横截面极小，与长度相比可忽略

§1 守恒律

1.1 动量守恒与弦振动方程

- **物理模型**：一根**两端固定**的**拉紧**的**均匀柔软**的长度为 l 的**细弦**，在垂直于弦方向的外力作用下在平衡位置附近作**微小的横振动**，求弦上各点的运动规律。
- **理想假设**
 - 两端固定** 边界条件
 - 拉紧** 弦的长度 = x 轴上所占据的长度 $u(x, t), x \in [0, l]$
 - 均匀柔软** 线密度 $\rho = \text{const}$ ；形变时不抵抗弯曲：各质点间的张力方向与弦的切线方向一致
 - 细弦** 横截面极小，与长度相比可忽略
 - 微小的横振动** 振动很小：振动中弦长度没有变化（具体用到再指明）

建模过程 1

- ① 建立坐标系, 令 $u(x, t)$ 表示 x 点处的弦在 t 时刻在竖直方向上的位移
- ② 取弦上任意一段 x_1 到 x_2 作为研究对象, 分析其受力情况, 设弦上 x 点处 t 时刻受到弦的张力为 $\mathbf{T}(x, t)$, 记

$$T(x, t) = |\mathbf{T}(x, t)|$$
- ③ 证明 $T(x, t) \equiv \text{const.}$

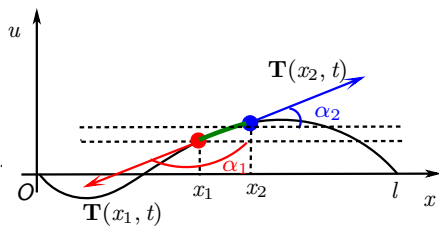


图: String

建模过程 2

- $T(x, t) = T(x)$.

方法:证明弦段的弦长不随时间变化, 从而由胡克定律:

$$\text{Hooke's law} \quad F = -kx, \text{ or } F(t_2) - F(t_1) = -k(S(t_2) - S(t_1))$$

知张力大小也不随时间改变.


该段弦长为:

$$S(t) = \int_{x_1}^{x_2} \sqrt{1 + \left(\frac{\partial u}{\partial x}\right)^2} dx \quad (1.1)$$

由于 $\frac{\partial u}{\partial x}$ 很小 ($o(x_2 - x_1)$) (微小振动的内涵), 因此可认为


$$S(t) \approx x_2 - x_1. \square$$

建模过程 3

- $T(x) \equiv \text{const.}$ 方法: 由于弦段在 x 方向上没有位移, 因此该方向受合力为 0.  Figure1.

$$x_1 \text{ 点处: } T_x(x_1) = -T(x_1) \cos(\pi - \alpha_1) = T(x_1) \cos \alpha_1$$

$$x_2 \text{ 点处: } T_x(x_2) = T(x_2) \cos \alpha_2$$

由微元法可知: .

$$\begin{aligned} \cos(\pi - \alpha_1) &= \lim_{\Delta x \rightarrow 0} \frac{\Delta x}{\sqrt{\Delta x^2 + \Delta u^2}} \\ &= \frac{1}{\sqrt{1 + \left[\frac{\partial u(x, t)}{\partial x}\right]^2}} \approx 1 \Rightarrow \alpha_1 \approx \pi \end{aligned} \quad (1.2)$$

同理, $\alpha_2 \approx 0$. $\cos \alpha_1 \approx -1, \cos \alpha_2 \approx 1 \Rightarrow T(x_1) = T(x_2) \equiv \text{const.} \square$

建模过程 4 I

4. 分析 (t_1, t_2) 时间段中, (x_1, x_2) 的弦在 u 方向所受张力, 并依据动量守恒律

$$\int_{t_1}^{t_2} f(t) dt = \int_{\Omega} \rho(t_2) v(t_2) d\sigma - \int_{\Omega} \rho(t_1) v(t_1) d\sigma$$

列出方程.

此处因外力线密度 $F(x, t)$ 而分两类情形:

- A. 外力 $F(x, t) \equiv 0$

建模过程 4 II

- 首先, 弦段在 τ 时刻所受 u 方向外力为:

$$\begin{aligned}& -T(x_1) \sin(\pi - \alpha_1) + T(x_2) \sin \alpha_2 \\& \approx T(\tan \alpha_2 - \tan \alpha_1) \\& = T \left(\frac{\partial u(x_2, t)}{\partial x} - \frac{\partial u(x_1, t)}{\partial x} \right)\end{aligned}$$

- 其次, 微元 x 处的速度变化也可以求出, 即为:

$$\frac{\partial u(x, t_2)}{\partial t} - \frac{\partial u(x, t_1)}{\partial t}$$

建模过程 4 III

由动量定理, 对于弦段来说, (t_1, t_2) 时段有:

$$\begin{aligned}
 \int_{t_1}^{t_2} T \left(\frac{\partial u(x_2, t)}{\partial x} - \frac{\partial u(x_1, t)}{\partial x} \right) dt &= \int_{x_1}^{x_2} \rho \left(\frac{\partial u(x, t_2)}{\partial t} - \frac{\partial u(x, t_1)}{\partial t} \right) dx \\
 \int_{t_1}^{t_2} \int_{x_1}^{x_2} T \frac{\partial^2 u(x, t)}{\partial x^2} dx dt &= \int_{x_1}^{x_2} \int_{t_1}^{t_2} \rho \frac{\partial^2 u(x, t)}{\partial t^2} dt dx \\
 \int_{t_1}^{t_2} \int_{x_1}^{x_2} \left(T \frac{\partial^2 u(x, t)}{\partial x^2} - \rho \frac{\partial^2 u(x, t)}{\partial t^2} \right) dx dt &= 0
 \end{aligned} \tag{1.3}$$

由选取弦段 $[x_1, x_2]$ 和时间段 $[t_1, t_2]$ 的任意性, 以及被积函数的连续性, 可知:

$$T \frac{\partial^2 u(x, t)}{\partial x^2} - \rho \frac{\partial^2 u(x, t)}{\partial t^2} = 0 \tag{1.4}$$

建模过程 5

记 $a^2 = \frac{T}{\rho}$, 上式化为:

$$\frac{\partial^2 u}{\partial t^2} - a^2 \frac{\partial^2 u}{\partial x^2} = 0. \quad (1.5)$$

称其为不受外力作用时一维弦振动方程 (自由振荡) .

思考

该方程的线性性? 阶数? 齐次性?

建模过程 6

B. 外力 $F(x, t) \neq 0$, 则由动量守恒律知:

$$\begin{aligned}
 & \int_{t_1}^{t_2} T \left(\frac{\partial u(x_2, t)}{\partial x} - \frac{\partial u(x_1, t)}{\partial x} \right) dt + \int_{t_1}^{t_2} \int_{x_1}^{x_2} F(x, t) dx dt \\
 &= \int_{x_1}^{x_2} \rho dx \left(\frac{\partial u(x, t_2)}{\partial t} - \frac{\partial u(x, t_1)}{\partial t} \right) dx \\
 & \int_{t_1}^{t_2} \int_{x_1}^{x_2} T \frac{\partial^2 u(x, t)}{\partial x^2} + F(x, t) dx dt = \int_{x_1}^{x_2} \int_{t_1}^{t_2} \rho \frac{\partial^2 u(x, t)}{\partial t^2} dt dx \\
 & \int_{t_1}^{t_2} \int_{x_1}^{x_2} \left(T \frac{\partial^2 u(x, t)}{\partial x^2} + F(x, t) - \rho \frac{\partial^2 u(x, t)}{\partial t^2} \right) dx dt = 0 \quad (1.6)
 \end{aligned}$$

\Rightarrow

$$T \frac{\partial^2 u(x, t)}{\partial x^2} + F(x, t) - \rho \frac{\partial^2 u(x, t)}{\partial t^2} = 0 \quad (1.7)$$

建模过程 7

记 $f(x, t) = \frac{F(x, t)}{\rho}$, 则得到外力作用下一维弦振动方程:

$$\frac{\partial^2 u}{\partial t^2} - a^2 \frac{\partial^2 u}{\partial x^2} = f(x, t). \quad (1.8)$$

思考

该方程的线性性? 阶数? 齐次性?

定解条件

PDE 的解

$\exists u$ 满足

- 1) 具有 PDE 中所需的各阶连续偏导数;
- 2) 将 u 代入 PDE 中等号恒成立

$\implies u$ 称为该 PDE 的解.

Question

只有弦振动方程:

$$\frac{\partial^2 u}{\partial t^2} - a^2 \frac{\partial^2 u}{\partial x^2} = f(x, t). \quad (1.8)$$

是否足以确定方程的解? 会不会出现多个 u 满足弦振动方程的情形?

定解条件

初始条件：弦在 $t = 0$ 时刻的状态（位移、速度）

Answer

必须增加相应的**定解条件**，才能对方程定解。

首先是**初始条件**：

$$u(x, 0) = \varphi(x), \quad \frac{\partial u(x, 0)}{\partial t} = \psi(x), \quad x \in [0, l] \quad (1.9)$$

- $\varphi(x) = \psi(x) \equiv 0$: 齐次初始条件
- 其他情形: 非齐次初始条件

定解条件

边界条件：弦在边界处（两个端点）的状态

- **两端固定**: 给出了弦两端点 $0, l$ 处固定在水平位置, 即:

$$u(0, t) = 0, u(l, t) = 0, \quad t \in [0, \infty). \quad (1.10)$$

更一般地 $u(0, t) = \mu_1(t), u(l, t) = \mu_2(t)$.

称为**第一类边界条件** (**Dirichlet 边界条件**)

定解条件

边界条件：弦在边界处（两个端点）的状态

- **两端固定**：给出了弦两端点 $0, l$ 处固定在水平位置，即：

$$u(0, t) = 0, u(l, t) = 0, \quad t \in [0, \infty). \quad (1.10)$$

更一般地 $u(0, t) = \mu_1(t), u(l, t) = \mu_2(t)$.

称为**第一类边界条件**（Dirichlet 边界条件）


- 弦的两端处于自由状态（可在 u 方向自由移动），即端点处所受张力在 u 方向的分量为 0，则由前文推导得：

$$-T \frac{\partial u(0, t)}{\partial x} = T \frac{\partial u(l, t)}{\partial x} = 0, \quad t \in [0, \infty). \quad (1.11)$$

更一般地 $-T \frac{\partial u(0, t)}{\partial x} = \mu_1(t); T \frac{\partial u(l, t)}{\partial x} = \mu_2(t)$.

称为**第二类边界条件**（Neumann 边界条件）

边界条件：弦在边界处（两个端点）的状态

- 两端放置在弹性支承上，由胡克定律知  figure3:

$$T \frac{\partial u(0, t)}{\partial x} = \sigma u(0, t) \quad - \quad T \frac{\partial u(l, t)}{\partial x} = \sigma u(l, t), \quad t \in [0, \infty) \quad (1.12)$$

更一般地

$$T \frac{\partial u(0, t)}{\partial x} - \sigma u(0, t) = \mu_1(t), \quad -T \frac{\partial u(l, t)}{\partial x} - \sigma u(l, t) = \mu_2(t).$$

称为**第三类边界条件**（Robin 边界条件）。

$\mu_1(t) = \mu_2(t) \equiv 0$ 齐次边界条件

$\mu_1(t) \not\equiv 0$ or $\mu_2(t) \not\equiv 0$ 非齐次边界条件

定解问题

$$\begin{cases} \frac{\partial^2 u}{\partial t^2} - a^2 \frac{\partial^2 u}{\partial x^2} = f(x, t), & x \in (0, l), t \in (0, \infty), \\ u(x, 0) = \varphi(x), \quad \frac{\partial u(x, 0)}{\partial t} = \psi(x), & x \in [0, l], \\ u(0, t) = \mu_1(t), u(l, t) = \mu_2(t), & t \in [0, \infty). \end{cases} \quad (1.13)$$

以上称为弦振动方程的**混合问题**。若弦足够长，从而在所考虑的时间内，弦的端点的影响可忽略不计，可认为弦长为无穷，因此不必考虑边界条件。

$$\begin{cases} \frac{\partial^2 u}{\partial t^2} - a^2 \frac{\partial^2 u}{\partial x^2} = f(x, t), & x \in (-\infty, \infty), t \in (0, \infty), \\ u(x, 0) = \varphi(x), \quad \frac{\partial u(x, 0)}{\partial t} = \psi(x), & x \in (-\infty, \infty). \end{cases} \quad (1.14)$$

称为弦振动方程的**初值问题 (Cauchy 问题)**。

高维波动方程 I

类似于弦振动方程，即一维波动方程的建模过程，可以建立二维（膜振动方程：谷超豪教材 P25-P27）及三维波动方程。至此， n 维波动方程的形式统一为：

$$\frac{\partial^2 u}{\partial t^2} - a^2 \Delta u = f(\mathbf{x}, t), \mathbf{x} \in \Omega, t \in (0, \infty) \quad (1.15)$$

其中 Ω 为 R^n 中的开子集。

初始条件

$$u(\mathbf{x}, 0) = \varphi(\mathbf{x}), \quad \frac{\partial u(\mathbf{x}, 0)}{\partial t} = \psi(\mathbf{x}), \mathbf{x} \in \Omega \quad (1.16)$$

高维波动方程 II

边界条件

$$u(x, t)|_{\Gamma} = g(\mathbf{x}, t) \quad (1.17)$$

$$\frac{\partial u}{\partial n} \Big|_{\Gamma} = g(\mathbf{x}, t) \quad (1.18)$$

$$\left(\frac{\partial u}{\partial n} + \sigma u \right) \Big|_{\Gamma} = g(\mathbf{x}, t) \quad (1.19)$$

其中 $\Gamma = \bar{\Omega} \setminus \Omega$.

作业 P27: 1, 3, 5.

1.2 能量守恒与热传导方程 I

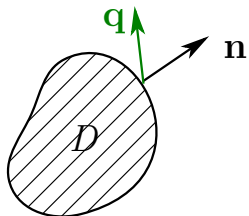
- **物理模型：**三维空间中，考虑一均匀、各向同性的物体 Ω ，假定它内部有热源，并且与周围介质存在热交换，研究物体内部温度的分布和变化.
- **能量守恒律：**

$$\boxed{E(t_2)} - \boxed{E(t_1)} = \boxed{\text{边界上的流入热量}} + \boxed{\text{热源产生的热量}}$$

- **建模过程：**

1.2 能量守恒与热传导方程 II

- ① 研究对象：在 Ω 内取一块 D ，研究时段 $[t_1, t_2]$ 内 D 内温度 u (单位 K) 的变化. c 是比热容 ($J/(kg \cdot K)$) ; ρ 是密度; q 是热流密度 (W/m^2) ; f_0 是热源强度 ($J/(kg \cdot s)$) .



1.2 能量守恒与热传导方程 III

② 依据能量守恒律列方程:

$$\begin{aligned} & \iiint_D c\rho \left(u|_{t=t_2} - u|_{t=t_1} \right) dx dy dz \\ &= - \int_{t_1}^{t_2} dt \oint_{\partial D} \mathbf{q} \bullet \mathbf{n} dS + \int_{t_1}^{t_2} dt \iiint_D \rho f_0 dx dy dz. \end{aligned} \quad (1.20)$$

由 Fourier 定律 (热流向量与温度梯度成正比, 即 $\mathbf{q} = -k\nabla u$ 负号表示热量的流向与温度的增长方向相反) 知:

$$\mathbf{q} \bullet \mathbf{n} = -k \frac{\partial u}{\partial n} \quad (1.21)$$

1.2 能量守恒与热传导方程 IV

(1.20) 右侧第一项可化为:

$$\int_{t_1}^{t_2} dt \oint_{\partial D} k \frac{\partial u}{\partial n} dS \quad (1.22)$$

再假设 u 在 $\Omega \times (0, \infty)$ 内具有连续偏导 $\frac{\partial^2 u}{\partial x^2}, \frac{\partial^2 u}{\partial y^2}, \frac{\partial^2 u}{\partial z^2}$, 应用 Gauss 公式,

$$(1.22) = \int_{t_1}^{t_2} dt \iiint_D \nabla \cdot (k \nabla u) dx dy dz. \quad (1.23)$$

1.2 能量守恒与热传导方程 V

再假设 u 在 $\Omega \times (0, \infty)$ 内具有连续偏导 $\frac{\partial u}{\partial t}$, 则进一步地, (1.20) 可化为:

$$\int_{t_1}^{t_2} \iiint_D c\rho \frac{\partial u}{\partial t} dx dy dz dt = \int_{t_1}^{t_2} \iiint_D [\nabla \cdot (k \nabla u) + \rho f_0] dx dy dz dt \quad (1.24)$$

由于被积函数 $\in C[\Omega \times (0, \infty)]$, 且 $[t_1, t_2]$ 及 D 的任意性得:

$$\frac{\partial u}{\partial t} - a^2 \Delta u = f \quad (1.25)$$

其中 $a^2 = \frac{k}{c\rho}, f = \frac{f_0}{c}$ ($f \leq 0$: 热汇; $f \geq 0$ 热源) .

上式称为**热传导方程**.

1.2 能量守恒与热传导方程 VI

- **附注：**在研究分子扩散过程中也会遇到类似的方程，如气体扩散、液体的渗透、半导体材料中的杂质扩散等. 称为**扩散方程**.

热传导方程	扩散方程
温度 u	浓度 N
Fourier 定律: $\mathbf{q} = -k\nabla u$	Nernst 定律 ¹ : $\mathbf{v} = -D\nabla N$
热量守恒律	质量守恒律
$\frac{\partial u}{\partial t} - a^2 \Delta u = f$	$\frac{\partial N}{\partial t} - D \Delta N = f$

定解条件 I

初始条件

$$u(x, y, z, 0) = \varphi(x, y, z), \quad (x, y, z) \in \bar{\Omega} \quad (1.26)$$

边界条件 ① Dirichlet 边界条件: 已知边界上的温度分布.

$$u|_{\Sigma} = g(x, y, z, t), \quad \Sigma = \partial\Omega \times [0, \infty). \quad (1.27)$$

g 为常数, 表示物体表面保持恒温.

② Neumann 边界条件: 已知通过 $\partial\Omega$ 的热量.

$$k \frac{\partial u}{\partial n} \Big|_{\Sigma} = g(x, y, z, t). \quad (1.28)$$

$g \geq 0$ 表示热量流入, $g \leq 0$ 表示热量流出, $g \equiv 0$?

定解条件 II

- ③ Robin 边界条件: 已知通过 $\partial\Omega$ 与周围介质有热交换
(依据热传导实验定律: 从物体流到介质中的热量与二者温差成正比.)

$$k \frac{\partial u}{\partial n} \Big|_{\Sigma} = \alpha_0 (g_0 - u) \Big|_{\Sigma}. \quad (1.29)$$

或

$$\left(\frac{\partial u}{\partial n} + \alpha u \right) \Big|_{\Sigma} = g(x, y, z, t). \quad (1.30)$$

其中 g_0 表示周围介质温度, α_0 表示热交换系数,
 $\alpha = \frac{\alpha_0}{k} > 0$, $g = \frac{g_0}{k} > 0$.

定解条件 III

- 对某些特殊的三维问题，可取恰当的坐标系将其化归为一维或二维问题处理。

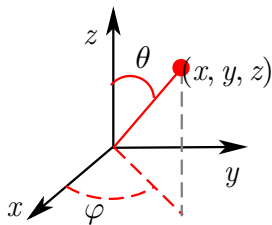
- ① 例 1: 若物体可看成一根细杆，侧表面绝热，与周围介质的热交换只在杆的两端 $x = 0$ 和 $x = l$ 进行；若在杆的任意一个与杆的轴线垂直的截面上，初始温度和热源强度的变化很小，那么可近似认为杆上的温度只依赖于截面的位置. 若取杆的轴线为 x 轴，则热传导方程可改写为

$$\frac{\partial u}{\partial t} - a^2 \frac{\partial^2 u}{\partial x^2} = f(x, t) \quad (1.31)$$

称为一维热传导方程.

定解条件 IV

- ② 例 2: 一半径为 R 的球体, 球面各点所受周围介质的影响都相同, 球内任意一点的初始温度与热源强度只依赖于与球心的距离, 选取球心为坐标原点, 建立球坐标系。球内一点与原点距离为 r , $r^2 = x^2 + y^2 + z^2$, 球内温度 $u(r, t)$



$$x = r \sin \theta \cos \varphi$$

$$y = r \sin \theta \sin \varphi$$

$$z = r \cos \theta$$

$$\frac{\partial u}{\partial x_i} = \frac{x_i}{r} \frac{\partial u}{\partial r}$$

$$\frac{\partial^2 u}{\partial x_i^2} = \frac{x_i^2}{r^2} \frac{\partial^2 u}{\partial r^2} + \frac{r^2 - x_i^2}{r^3} \frac{\partial u}{\partial r}$$

定解条件 V

从而

$$\Delta u = \sum_{i=1}^3 \frac{\partial^2 u}{\partial x_i^2} = \frac{\partial^2 u}{\partial r^2} + \frac{2}{r} \frac{\partial u}{\partial r}$$

于是 $u(r, t)$ 满足如下方程:

$$\frac{\partial u}{\partial t} - a^2 \frac{\partial^2 u}{\partial r^2} + \frac{2}{r} \frac{\partial u}{\partial r} = f(r, t).$$

称为**球对称问题的热传导方程**.

定解条件 VI

- ③ 例 3: 一个高为 H , 半径为 R 的圆柱形物体, 引入柱坐标, 取柱体的轴线为 z 轴, 下底落在 $z = 0$ 平面上, 假设在柱体的侧表面和上、下底上给出的边界条件只分别依赖于 z 和 r , 且柱体初始温度和内部热源只是 r 和 z 的函数。试推导柱体内温度 $u = u(r, z, t)$ 满足的**二维轴对称问题的热传导方程**。

思考题

热传导方程的定解问题如何定义? 你能否写出热传导方程的混合问题、Cauchy 问题?

作业 P27: 7.

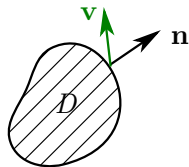
1.3 质量守恒与连续性方程 I

- **物理模型**: 研究区域 Ω 内运动流体的质量分布变化.
- **质量守恒定律**: 任意一块区域 D 内流体的质量变化满足

$$m(t_2) - m(t_1) = \boxed{\text{边界上的流入质量}} + \boxed{\text{源 (汇) 生成的质量}}$$

- **建模过程**:

- ① 在 Ω 内取任意一块区域 D , 研究 $[t_1, t_2]$ 内流体的运动规律. \mathbf{v} 是流体的运动速度 (m/s).



$-\mathbf{v} \cdot \mathbf{n}$ 流体沿内法向的流速分量

$-\mathbf{v} \cdot \mathbf{n} dt$ dt 内流入的距离

$-\mathbf{v} \cdot \mathbf{n} dt dS$ dt 内通过 dS 流入的流体体积

$-\rho \mathbf{v} \cdot \mathbf{n} dt dS$ dt 内通过 dS 流入的流体质量

1.3 质量守恒与连续性方程 II

② 对 D 应用质量守恒律

$$\iiint_D (\rho|_{t=t_2} - \rho|_{t=t_1}) dx dy dz = - \int_{t_1}^{t_2} dt \oint_{\partial D} \rho \mathbf{v} \cdot \mathbf{n} dS$$

若 ρ, \mathbf{v} 连续可微, 则由 Gauss 公式可得

$$\int_{t_1}^{t_2} dt \iiint_D \left[\frac{\partial \rho}{\partial t} + \nabla \cdot (\rho \mathbf{v}) \right] dx dy dz = 0$$

由于被积函数 $\in C(\Omega)$, 以及 D 和 $[t_1, t_2]$ 的任意性, 可得

$$\frac{\partial \rho}{\partial t} + \nabla \cdot (\rho \mathbf{v}) = 0, \quad \Omega \times (0, \infty) \quad (1.32)$$

称为**连续性方程**.

1.3 质量守恒与连续性方程 III

• 几个特例:

①

$$\mathbf{v} \equiv \text{const.} \implies \frac{\partial \rho}{\partial t} + \mathbf{v} \bullet \nabla \rho = 0 \quad (1.33)$$

② 流体不可压缩 ($\rho \equiv \text{const.}$)

$$\nabla \bullet \mathbf{v} = 0 \quad (1.34)$$

③ 不可压缩无旋 ($\text{rot} \mathbf{v} = 0$) 运动

这种流场是有势的, 即存在函数 φ (速度势) 使得

$$\mathbf{v} = \nabla \varphi$$

1.3 质量守恒与连续性方程 IV

如果区域 Ω 单连通, 则 φ 是一个单值函数.

若流体不可压缩, 则连续性方程化为

$$\nabla \cdot \mathbf{v} = 0$$

因此有

$$\nabla \cdot \nabla \varphi = \Delta \varphi = 0$$

表示不可压缩无旋流体的速度势 φ 适合 Laplace 方程.

作业 P27: 10.

预备知识

定义 (泛函)

从一个集合到实数的映射.

例

$\forall f(x) \in C([a, b])$, 映射

$$f(x) \rightarrow \int_a^b f(x) dx$$

是定义在 $C([a, b])$ 上的一个泛函.

定义 (变分问题)

求某一特定泛函在定义域内的极值.

定义

设 Ω 是 \mathbb{R}^2 中的区域, 定义在 Ω 上的无穷次可微且在 Ω 的边界附近为 0 的函数的全体, 记为 $C_0^\infty(\Omega)$.

例: 函数

$$\rho(x, y) = \begin{cases} ke^{-1/[1-(x^2+y^2)]}, & x^2 + y^2 < 1, \\ 0, & x^2 + y^2 \geq 1 \end{cases}$$

属于 $C_0^\infty(\mathbb{R}^2)$, 其中 k 为常数, 选取 k 使得

$$\iint_{\mathbb{R}^2} \rho(x, y) dx dy = 1.$$

又定义

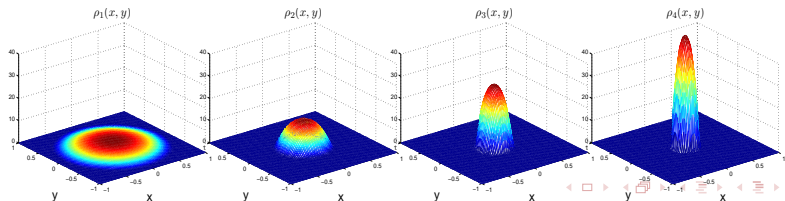
$$\rho_n(x, y) = n^2 \rho(nx, ny), \quad (n > 0)$$

则

$$\rho_n(x, y) \in C_0^\infty(\mathbb{R}^2)$$

$$\iint_{\mathbb{R}^2} \rho_n(x, y) dx dy = 1.$$

且当 $\sqrt{x^2 + y^2} \geq \frac{1}{n}$ 时, $\rho_n(x, y) = 0$



引理

设 Ω 为 \mathbb{R}^2 中有界区域, $f(x, y) \in C(\Omega)$, 若 $\forall \varphi(x, y) \in C_0^\infty(\Omega)$,

$$\iint_{\Omega} f(x, y) \varphi(x, y) dx dy = 0$$

则 $f(x, y)$ 在 Ω 上恒为 0.

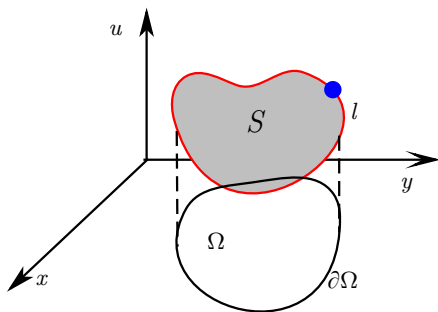
证明.

反证法.



2.1 极小曲面问题 I

问题描述



$$l: \begin{cases} x = x(s) \\ y = y(s) \\ u = \varphi(s) \end{cases} \quad (0 \leq s \leq s_0)$$

$$\begin{aligned} x(0) &= x(s_0) \\ y(0) &= y(s_0) \\ \varphi(0) &= \varphi(s_0) \end{aligned}$$

求一张定义在 $\bar{\Omega}$ 上的曲面 S , 使得: **a.** S 以 l 为周界; **b.** S 的表面积最小.

2.1 极小曲面问题 II

- **变分问题：** 给定函数集合

$$M_\varphi = \{v \mid v \in C^1(\bar{\Omega}), v|_{\partial\Omega} = \varphi\} \quad \boxed{\text{允许函数类}} \quad (2.1)$$

定义 M_φ 上泛函

$$J(v) = \iint_{\Omega} \sqrt{1 + v_x^2 + v_y^2} dx dy$$

$$\boxed{J: M_\varphi \rightarrow \mathbb{R}, \text{即定义在 } M_\varphi \text{ 上的泛函}} \quad (2.2)$$

求 $u \in M_\varphi$, 使得

$$J(u) = \min_{v \in M_\varphi} J(v) \quad \boxed{u: \text{该 } J \text{ 在 } M_\varphi \text{ 上的极小值点}} \quad (2.3)$$

- **求解变分问题：** 设 u 是变分问题的解

2.1 极小曲面问题 III

- **必要条件:** 定义 $M_0 = \{v | v \in C^1(\bar{\Omega}), v|_{\partial\Omega} = 0\}$

则 $\forall v \in M_0, \forall \epsilon \in (-\infty, +\infty)$, 有 $u + \epsilon v \in M_\varphi$, 定义

$$j(\epsilon) = J(u + \epsilon v)$$

$j: \mathbb{R} \rightarrow \mathbb{R}$, 可微函数

$$j(\epsilon) \geq j(0), \forall \epsilon \in \mathbb{R} \implies j'(0) = 0$$

计算得到:

$$\begin{aligned} j'(\epsilon) &= \iint_{\Omega} \frac{(u + \epsilon v)_x v_x + (u + \epsilon v)_y v_y}{\sqrt{1 + (u_x + \epsilon v_x)^2 + (u_y + \epsilon v_y)^2}} dx dy \\ &\implies \iint_{\Omega} \frac{u_x}{\sqrt{1 + u_x^2 + u_y^2}} v_x + \frac{u_y}{\sqrt{1 + u_x^2 + u_y^2}} v_y dx dy = 0 \end{aligned}$$

2.1 极小曲面问题 IV

假设 $u \in C^2(\bar{\Omega})$, 令

$$P = \frac{u_x}{\sqrt{1 + u_x^2 + u_y^2}} v, \quad Q = \frac{u_y}{\sqrt{1 + u_x^2 + u_y^2}} v$$

再由 Green 公式

$$\iint_{\Omega} \left(\frac{\partial P}{\partial x} + \frac{\partial Q}{\partial y} \right) dx dy = \oint_{\partial\Omega} P \cos(\mathbf{n}, x) + Q \cos(\mathbf{n}, y) dS \quad (2.4)$$

2.1 极小曲面问题 V

得:

$$\begin{aligned}
 & \iint_{\Omega} \frac{\partial}{\partial x} \left[\frac{u_x}{\sqrt{1 + u_x^2 + u_y^2}} v \right] + \frac{\partial}{\partial y} \left[\frac{u_y}{\sqrt{1 + u_x^2 + u_y^2}} v \right] dx dy \\
 &= \iint_{\Omega} \left\{ \frac{\partial}{\partial x} \left[\frac{u_x}{\sqrt{1 + u_x^2 + u_y^2}} \right] + \frac{\partial}{\partial y} \left[\frac{u_y}{\sqrt{1 + u_x^2 + u_y^2}} \right] \right\} v + \frac{u_x v_x + u_y v_y}{\sqrt{1 + u_x^2 + u_y^2}} dx dy \\
 &= \iint_{\Omega} \left\{ \frac{\partial}{\partial x} \left[\frac{u_x}{\sqrt{1 + u_x^2 + u_y^2}} \right] + \frac{\partial}{\partial y} \left[\frac{u_y}{\sqrt{1 + u_x^2 + u_y^2}} \right] \right\} v dx dy \\
 &= \oint_{\partial\Omega} \frac{v}{\sqrt{1 + u_x^2 + u_y^2}} \bullet \frac{\partial u}{\partial n} dS
 \end{aligned} \tag{2.5}$$

2.1 极小曲面问题 VI

由于 $v|_{\partial\Omega} = 0$, 且由 (2.5) 中被积函数的连续性 & v 的任意性知:

$$\frac{\partial}{\partial x} \left[\frac{u_x}{\sqrt{1 + u_x^2 + u_y^2}} \right] + \frac{\partial}{\partial y} \left[\frac{u_y}{\sqrt{1 + u_x^2 + u_y^2}} \right] = 0 \quad (2.6)$$

称为本变分问题的 **Euler 方程**.

$$\boxed{\text{变分问题的解}} \implies \boxed{\text{Euler 方程}} + \boxed{\text{边界条件: } u|_{\partial\Omega} = \varphi(x, y).}$$

2.1 极小曲面问题 VII

- 充分条件: 还需证明 (2.6) 是否为充分? 计算得:

$$j''(\epsilon) = \iint_{\Omega} \frac{v_x^2 + v_y^2 + [v_y(u_x + \epsilon v_x) - v_x(u_y + \epsilon v_y)]^2}{[1 + (u_x + \epsilon v_x)^2 + (u_y + \epsilon v_y)^2]^{3/2}} dx dy$$

$$\implies j''(0) > 0$$

变分问题 \iff

$$\begin{cases} \frac{\partial}{\partial x} \left[\frac{u_x}{\sqrt{1+u_x^2+u_y^2}} \right] + \frac{\partial}{\partial y} \left[\frac{u_y}{\sqrt{1+u_x^2+u_y^2}} \right] = 0, & x, y \in \Omega \\ u|_{\partial\Omega} = \varphi. \end{cases} \quad (2.7)$$

2.1 极小曲面问题 VIII

- **附注** Euler 方程可改写为:

$$(1 + u_y^2)u_{xx} - 2u_x u_y \bullet u_{xy} + (1 + u_x^2)u_{yy} = 0$$

Q: 这是一个线性方程吗?

假设 $|u_x|, |u_y| \ll 1$, 则该方程可以简化为:

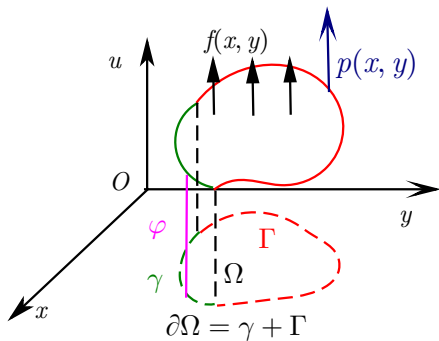
$$u_{xx} + u_{yy} = 0 \quad (2.8)$$

由此, 极小曲面 $u = u(x, y)$ 可近似看做 Laplace 方程的第一边值问题的解.

2.2 膜的平衡问题 I

物理模型

考虑一处于紧张状态的薄膜，它的部分边界固定在一框架上，另一部分边界上受到外力的作用；若整个薄膜在垂直于平衡位置的外力作用下处于平衡状态，问膜的形状如何？



2.2 膜的平衡问题 II

最小势能原理 受外力作用的弹性体，在满足已知边界位移约束的一切可能位移中，以达到平衡状态的位移使物体的总势能为最小.

膜达到平衡状态 \iff 膜的总势能最小

将物理问题转化成了一个**优化问题**.

- ① 什么是总势能？及其数学形式？
- ② 满足已知边界位移约束的一切可能位移？

回答:

2.2 膜的平衡问题 III

$$\textcircled{1} \quad \boxed{\text{总势能}} = \boxed{\text{应变能}} - \boxed{\text{外力做功}}$$

应变能: 把膜从水平位置转移到这个位置, 为了抵抗张力所作的功的总和.

$$\boxed{\text{应变能}} = T\Delta\sigma = T \left[\iint_{\Omega} (\sqrt{1 + v_x^2 + v_y^2} - 1) dx dy \right]$$

$$\approx \frac{T}{2} \iint_{\Omega} (v_x^2 + v_y^2) dx dy, \quad \boxed{\approx : \text{不计高阶无穷小量}}$$

$$\boxed{\text{外力做功}} = \iint_{\Omega} f(x, y) v(x, y) dx dy + \int_{\Gamma} p(s) v(s) ds.$$

2.2 膜的平衡问题 IV

$$\text{因此: 总势能} = J(v) = \frac{T}{2} \iint_{\Omega} (v_x^2 + v_y^2) dx dy - \iint_{\Omega} f(x, y) v(x, y) dx dy - \int_{\Gamma} p(s) v(s) ds. \quad (2.9)$$

- ② a. 满足已知位移约束: $u|_{\gamma} = \varphi$.
 b. 使得总势能 $J(v)$ 有意义: (2.9) 中被积函数可积.

$$M_{\varphi} = \{v | v \in C^1(\bar{\Omega}), v|_{\gamma} = \varphi\}$$

2.2 膜的平衡问题 V

求解变分问题

$$J(u) = \min_{v \in M_\varphi} J(v) \quad (2.10)$$

2.2 膜的平衡问题 VI

必要条件: 定义 $M_0 = \{v | v \in C^1(\bar{\Omega}), v|_{\gamma} = 0\}$ 则

$\forall v \in M_0, \forall \epsilon \in (-\infty, +\infty)$, 有 $u + \epsilon v \in M_{\varphi}$, 定义

$$j(\epsilon) = J(u + \epsilon v)$$

$j: \mathbb{R} \rightarrow \mathbb{R}$, 可微函数

$$j(\epsilon) \geq j(0), \forall \epsilon \in \mathbb{R} \implies j'(0) = 0$$

计算得到:

$$j'(0) = T \iint_{\Omega} \left(\frac{\partial u}{\partial x} \frac{\partial v}{\partial x} + \frac{\partial u}{\partial y} \frac{\partial v}{\partial y} \right) dx dy - \iint_{\Omega} f v dx dy - \int_{\Gamma} p v ds = 0 \quad (2.11)$$

称为变分问题的 **Euler** 方程的积分形式.

2.2 膜的平衡问题 VII

若 $u \in C^2(\Omega)$, 由Green 第一公式得:

$$-\iint_{\Omega} (T\Delta u + f)v dx dy + \int_{\Gamma} \left(T \frac{\partial u}{\partial n} - p \right) v ds = 0 \quad (2.12)$$

注:Green 第一公式若 $u \in C^2(\Omega) \cap C^1(\bar{\Omega}), v \in C^1(\bar{\Omega})$, 则有:

$$\iint_{\Omega} \nabla u \bullet \nabla v dx dy = - \iint_{\Omega} \Delta u v dx dy + \oint_{\partial\Omega} v \frac{\partial u}{\partial n} dS \quad (2.13)$$

2.2 膜的平衡问题 VIII

Q: 上式中为什么是 \int_{Γ} 而不是 $\oint_{\partial\Omega}$?

由 $v \in M_0$ 的任意性, 先取 $v \in C_0^\infty(\Omega) \subset M_0$, 使得

$$\begin{aligned} & -T \iint_{\Omega} (T\Delta u + f)v dx dy = 0 \\ \implies & -T\Delta u = f. \quad (\Omega) \quad \boxed{\text{Poisson 方程}} \quad (2.14) \end{aligned}$$

2.2 膜的平衡问题 IX

再将 $-T\Delta u = f$ 代入 (2.12) 中得:

$$\begin{aligned} \int_{\Gamma} \left(T \frac{\partial u}{\partial n} - p \right) v ds &= 0, \quad \forall v \in M_0 \\ \implies T \frac{\partial u}{\partial n} &= p. \quad (\Gamma) \end{aligned} \quad (2.15)$$

变分问题的解



$$\begin{cases} -T\Delta u = f, \\ T \frac{\partial u}{\partial n}|_{\Gamma} = p, u|_{\gamma} = \varphi. \end{cases}$$

(2.16)

充分条件: 若 u 满足以上定解问题, 取 $\forall w \in M_\varphi$, 由 $w - u \in M_0$ 得:

$$\begin{aligned}
 & J(w) - J(u) \\
 &= \frac{T}{2} \iint_{\Omega} |\nabla(w - u)|^2 dx dy + T \iint_{\Omega} \nabla u \bullet \nabla(w - u) dx dy \\
 &\quad - \iint_{\Omega} f(w - u) dx dy - \int_{\Gamma} p(w - u) ds \\
 &= \frac{T}{2} \iint_{\Omega} |\nabla(w - u)|^2 dx dy - \iint_{\Omega} (T\Delta u + f)(w - u) dx dy \\
 &\quad + \int_{\Gamma} \left(T \frac{\partial u}{\partial n} - p \right) (w - u) ds = \frac{T}{2} \iint_{\Omega} |\nabla(w - u)|^2 dx dy \geq 0.
 \end{aligned}$$

变分问题的解



$$\begin{cases} -T\Delta u = f, \\ T\frac{\partial u}{\partial n}|_{\Gamma} = p, u|_{\gamma} = \varphi. \end{cases}$$

附注 1 本变分问题中可知:

- 第一类边界条件 $u|_{\gamma} = \varphi$ 是作为位移约束强加在 M_{φ} 上, 变分法中称为**约束边界条件**或**强制边界条件**;
- 第二类边界条件 $T\frac{\partial u}{\partial n} = p$ 是作为泛函 $J(v)$ 的一部分, 由泛函极值 u 自然满足的, 称第二 (三²) 类边界条件为**自然边界条件**.

附注 2

若 $\gamma \equiv \partial\Omega$, 则 $\Gamma \equiv \emptyset$, 变分问题等价于 Poisson 方程的第一边值问题.

若 $\Gamma \equiv \partial\Omega$, 则 $\gamma \equiv \emptyset$, 变分问题等价于 Poisson 方程的第二边值问题.

作业 P27: 11, P28: 14.

3. 定解问题的适定性

为了 PDE 的定解问题正确反映客观实际，必须有解存在，只有一个解并对定解数据连续依赖（稳定）。如果一个定解问题的解**存在、唯一、稳定**，则该定解问题是**适定**的，在数学上认为其**提法是正确的**。

3. 定解问题的适定性

为了 PDE 的定解问题正确反映客观实际，必须有解存在，只有一个解并对定解数据连续依赖（稳定）。如果一个定解问题的解**存在、唯一、稳定**，则该定解问题是**适定**的，在数学上认为其**提法是正确的**。

适定性问题是 PDE 研究的核心内容！

3. 定解问题的适定性

为了 PDE 的定解问题正确反映客观实际，必须有解存在，只有一个解并对定解数据连续依赖（稳定）。如果一个定解问题的解**存在、唯一、稳定**，则该定解问题是**适定**的，在数学上认为其**提法是正确的**。

适定性问题是 PDE 研究的核心内容！

存在性 在某一**给定函数类**中是否有解？

3. 定解问题的适定性

为了 PDE 的定解问题正确反映客观实际，必须有解存在，只有一个解并对定解数据连续依赖（稳定）。如果一个定解问题的解**存在、唯一、稳定**，则该定解问题是**适定**的，在数学上认为其**提法是正确的**。

适定性问题是 PDE 研究的核心内容！

存在性 在某一**给定函数类**中是否有解？

唯一性 若 u_1, u_2 都是 PDE 的解， $u_1 \equiv u_2$ ？ or 齐次定解问题是否只有零解？

3. 定解问题的适定性

为了 PDE 的定解问题正确反映客观实际，必须有解存在，只有一个解并对定解数据连续依赖（稳定）。如果一个定解问题的解**存在、唯一、稳定**，则该定解问题是**适定**的，在数学上认为其**提法是正确的**。

适定性问题是 PDE 研究的核心内容！

存在性 在某一**给定函数类**中是否有解？

唯一性 若 u_1, u_2 都是 PDE 的解， $u_1 \equiv u_2$ ？ or 齐次定解问题是否只有零解？

稳定性 PDE 的解是否连续依赖于定解问题中的参数：

3. 定解问题的适定性

为了 PDE 的定解问题正确反映客观实际，必须有解存在，只有一个解并对定解数据连续依赖（稳定）。如果一个定解问题的解**存在、唯一、稳定**，则该定解问题是**适定的**，在数学上认为其**提法是正确的**。

适定性问题是 PDE 研究的核心内容！

存在性 在某一**给定函数类**中是否有解？

唯一性 若 u_1, u_2 都是 PDE 的解， $u_1 \equiv u_2$ ？ or 齐次定解问题是否只有零解？

稳定性 PDE 的解是否连续依赖于定解问题中的参数：

- 另外，PDE 中还会研究解的正则性、渐近性、求解方法（精确解、渐近解、数值解）等内容。

弦的受力分析

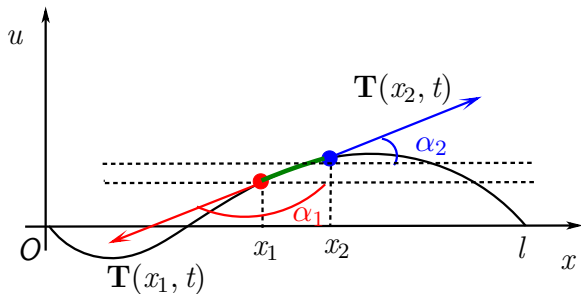
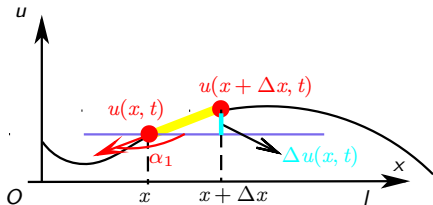


图: String

► back to page

张力方向角的计算



图：张力方向角的微元法推导

Robin boundary condition

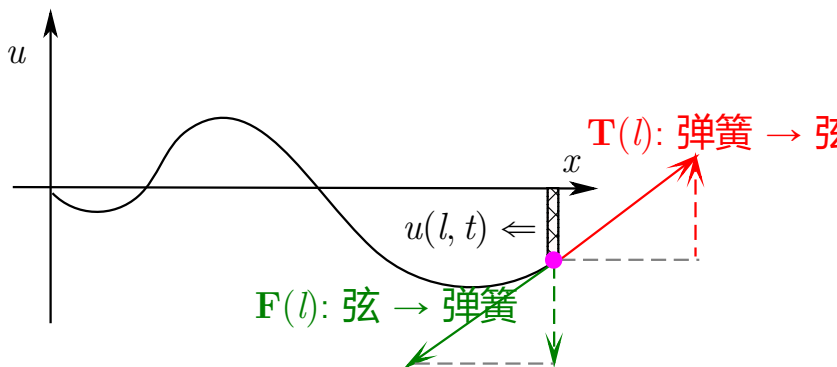


图: Robin Boundary Condition